# Pixel Pro

**Design Iosa Ghini** **iGuzzini**

Letzte Aktualisierung der Informationen: Mai 2024

**Produktkonfiguration: Q209**
Q209: Quadratische Einbauleuchte - LED mit passiver Kühlung Warm White - integrierte DALI-Versorgungseinheit - Wide Flood

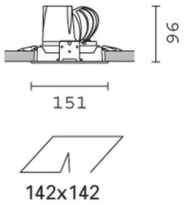


**Produktcode**
Q209: Quadratische Einbauleuchte - LED mit passiver Kühlung Warm White - integrierte DALI-Versorgungseinheit - Wide Flood
**Warnung! Code eingestellt**

**Beschreibung**
Herausziehbare, schwenkbare Einbauleuchte zur Bestückung mit LED mit System zur passiven Kühlung. Quadratischer Stahlblech-Rahmen; Hauptstruktur aus Aluminiumdruckguss; Drehscharniere aus Stahl; Lampenkorpus aus Aluminiumdruckguss mit profilierter Oberfläche mit hohem Abstrahlungseffekt, der die Temperatur effizient reduziert und eine langfristig stabile Leistung der LED gewährleistet. Verschlussring des Lampenkorpus aus verchromtem Aluminium. Reflektor mit Hochleistungsoptik aus Reinstaluminium - Wide-Flood-Öffnung. Ausrichtung des Korpus mittels manuell zu bedienender Vorrichtung: intern 29° - extern 75° - Drehung um die eigene Achse 355°. Komplett mit dimmbarer DALI-Versorgungseinheit , die an die Leuchte angeschlossen ist. LED Warm White mit hohem Farbwiedergabeindex CRI (Ra) > 90.

**Installation**
Montage als Einbauleuchte mittels Stahlfedern in abgehängte Decken mit einer Dicke ab 1 mm; Installationsausschnitt 142 x 142 mm

**Farben**
Weiß/Refl: Alu (39) | Grau/Schwarz/Aluminium (E1)

**Gewicht (Kg)**
0.95

**Montage**
Deckeneinbauleuchte

**Verkabelung**
Auf der Box der Versorgungseinheit mit Schnellanschluss-Verbindern

Gemäß der Normen EN60598-1 u. Sondernormen

IP20

**Technische Daten**

| | | | |
|---|---|---|---|
| lm System: | 1948 | CRI: | 90 |
| W System: | 23.8 | Farbtemperatur [K]: | 3000 |
| lm Lichtquelle: | 2500 | MacAdam Step: | 2 |
| W Lichtquelle: | 21 | Lebensdauer LED 1: | > 50,000h - L80 - B10 (Ta 25°C) |
| Lichtausbeute (lm/W, Systemwert): | 81.9 | Lampencode: | LED |
| lm im Notlichtbetrieb: | - | Anzahl Lampen in Leuchtengehäuse: | 1 |
| abgegebener Lichtstrom bei/über einem Winkel von 90° [lm]: | 0 | ZVEI-Code: | LED |
| Leuchtenbetriebswirkungsgrad (L.O.R.) [%]: | 78 | Anzahl Leuchtengehäuse: | 1 |
| Abstrahlwinkel [°]: | 54° | Control: | DALI |

**Polardiagramm**

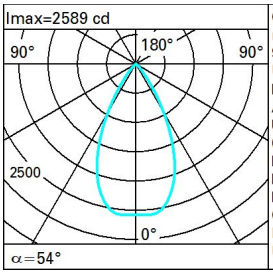


**CIE**
nL 0.78
97-100-100-100-78
UGR 15.8-15.8
**DIN**
A.61
**UTE**
0.78A+0.00T
F"1=965
F"1+F"2=997
F"1+F"2+F"3=1000
**CIBSE**
LG3 L<1500 cd/m² at 65°
UGR<16 I L<1500 cd/mq @65°

Lux

| h | d | Em | Emax |
|---|---|---|---|
| 2 | 2 | 500 | 644 |
| 4 | 4.1 | 125 | 161 |
| 6 | 6.1 | 56 | 72 |
| 8 | 8.2 | 31 | 40 |

**Wirkungsgrad**

| R | 77 | 75 | 73 | 71 | 55 | 53 | 33 | 00 | DRR |
|---|---|---|---|---|---|---|---|---|---|
| K0.8 | 69 | 65 | 63 | 60 | 65 | 62 | 62 | 59 | 76 |
| 1.0 | 72 | 69 | 66 | 65 | 68 | 66 | 66 | 63 | 81 |
| 1.5 | 76 | 74 | 72 | 70 | 73 | 71 | 70 | 68 | 87 |
| 2.0 | 79 | 77 | 75 | 74 | 76 | 75 | 74 | 71 | 92 |
| 2.5 | 80 | 79 | 78 | 77 | 78 | 77 | 76 | 74 | 95 |
| 3.0 | 81 | 80 | 80 | 79 | 79 | 78 | 77 | 75 | 97 |
| 4.0 | 83 | 82 | 81 | 81 | 80 | 80 | 79 | 77 | 98 |
| 5.0 | 83 | 82 | 82 | 82 | 81 | 81 | 79 | 78 | 99 |

**Söllner-Diagramm**

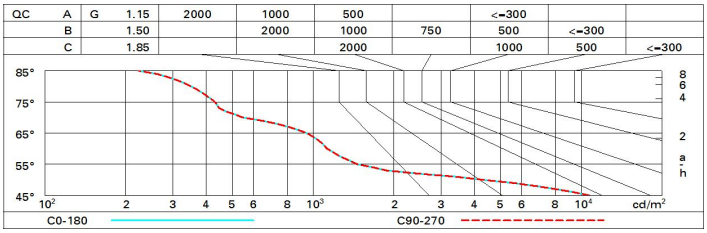


**UGR-Diagramm**

Corrected UGR values (at 2500 lm bare lamp luminous flux)

| Riflect.: ceil/cav | | 0.70 | 0.70 | 0.50 | 0.50 | 0.30 | 0.70 | 0.70 | 0.50 | 0.50 | 0.30 |
|---|---|---|---|---|---|---|---|---|---|---|---|
| walls | | 0.50 | 0.30 | 0.50 | 0.30 | 0.30 | 0.50 | 0.30 | 0.50 | 0.30 | 0.30 |
| work pl. | | 0.20 | 0.20 | 0.20 | 0.20 | 0.20 | 0.20 | 0.20 | 0.20 | 0.20 | 0.20 |
| Room dim | | | | viewed crosswise | | | | | viewed endwise | | |
| x | y | | | | | | | | | | |
| 2H | 2H | 16.3 | 17.0 | 16.6 | 17.2 | 17.4 | 16.3 | 17.0 | 16.6 | 17.2 | 17.4 |
| | 3H | 16.2 | 16.8 | 16.5 | 17.0 | 17.3 | 16.2 | 16.8 | 16.5 | 17.0 | 17.3 |
| | 4H | 16.1 | 16.7 | 16.5 | 16.9 | 17.2 | 16.1 | 16.7 | 16.5 | 16.9 | 17.2 |
| | 6H | 16.1 | 16.5 | 16.4 | 16.8 | 17.2 | 16.0 | 16.5 | 16.4 | 16.8 | 17.2 |
| | 8H | 16.0 | 16.5 | 16.4 | 16.8 | 17.1 | 16.0 | 16.5 | 16.4 | 16.8 | 17.1 |
| | 12H | 16.0 | 16.4 | 16.4 | 16.8 | 17.1 | 16.0 | 16.4 | 16.3 | 16.8 | 17.1 |
| 4H | 2H | 16.1 | 16.7 | 16.5 | 16.9 | 17.2 | 16.1 | 16.7 | 16.5 | 16.9 | 17.2 |
| | 3H | 16.0 | 16.4 | 16.4 | 16.8 | 17.1 | 16.0 | 16.4 | 16.4 | 16.8 | 17.1 |
| | 4H | 15.9 | 16.3 | 16.3 | 16.7 | 17.0 | 15.9 | 16.3 | 16.3 | 16.7 | 17.0 |
| | 6H | 15.8 | 16.2 | 16.2 | 16.6 | 17.0 | 15.8 | 16.2 | 16.2 | 16.5 | 17.0 |
| | 8H | 15.8 | 16.1 | 16.2 | 16.5 | 16.9 | 15.8 | 16.1 | 16.2 | 16.5 | 16.9 |
| | 12H | 15.7 | 16.0 | 16.2 | 16.4 | 16.9 | 15.7 | 16.0 | 16.2 | 16.4 | 16.9 |
| 8H | 4H | 15.8 | 16.1 | 16.2 | 16.5 | 16.9 | 15.8 | 16.1 | 16.2 | 16.5 | 16.9 |
| | 6H | 15.7 | 15.9 | 16.1 | 16.4 | 16.9 | 15.7 | 15.9 | 16.1 | 16.4 | 16.9 |
| | 8H | 15.6 | 15.8 | 16.1 | 16.3 | 16.8 | 15.6 | 15.8 | 16.1 | 16.3 | 16.8 |
| | 12H | 15.6 | 15.8 | 16.1 | 16.3 | 16.8 | 15.6 | 15.8 | 16.1 | 16.2 | 16.8 |
| 12H | 4H | 15.7 | 16.0 | 16.2 | 16.4 | 16.9 | 15.7 | 16.0 | 16.2 | 16.4 | 16.9 |
| | 6H | 15.6 | 15.8 | 16.1 | 16.3 | 16.8 | 15.6 | 15.8 | 16.1 | 16.3 | 16.8 |
| | 8H | 15.6 | 15.8 | 16.1 | 16.2 | 16.8 | 15.6 | 15.8 | 16.1 | 16.3 | 16.8 |

Variations with the observer position at spacing:

| S = | | | |
|---|---|---|---|
| | 1.0H | 5.1 / -13.5 | 5.1 / -13.5 |
| | 1.5H | 7.9 / -14.7 | 7.9 / -14.7 |
| | 2.0H | 9.9 / -15.9 | 9.9 / -15.9 |